

Журнал издается одновременно на русском («Известия Академии наук. Серия химическая») и английском («Russian Chemical Bulletin») языках. Подробную информацию о журнале, содержания номеров журнала в графической форме и аннотации статей, а также годовые предметные и авторские указатели можно получить в Интернете по адресу: <http://russchembull.ru>

The Journal is published in Russian and English.

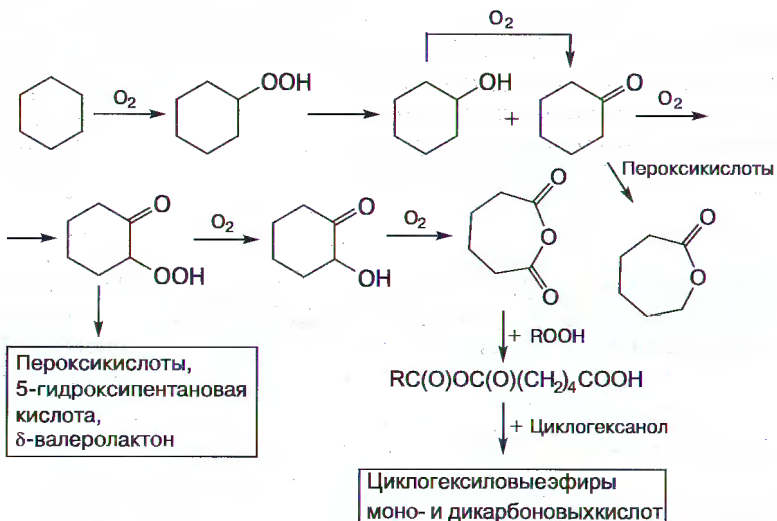
The International Edition is published under the title «Russian Chemical Bulletin» by Springer:
233 Spring St. New York NY 10013 USA. Tel.: 212 460 1572. Fax: 212 647 1898.

Detailed information concerning the journal contents of issues with graphical and text abstracts as well as annual subject and author indices can be found in the Internet at <http://russchembull.ru>

Содержание

Обзоры

Механизмы образования сложноэфирных соединений при жидкофазном окислении циклогексана

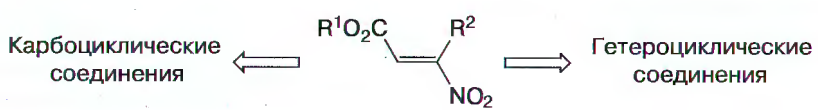


А. Л. Перкель, С. Г. Воронина

Изв. АН. Сер. хим., 2019, № 10, 1803

3-Нитроакрилаты — перспективные субстраты для конструирования карбо- и гетероциклических структур

В. В. Пелипко, Р. И. Байчурин,
С. В. Макаренко



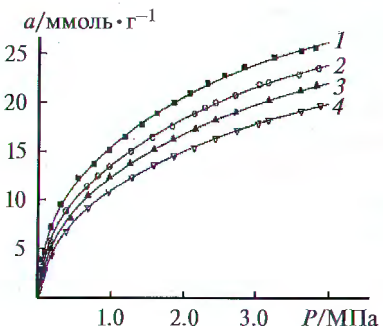
Изв. АН. Сер. хим., 2019, № 10, 1821

Полные статьи

Адсорбция этана на микропористом углеродном адсорбенте с широким распределением пор по размерам

А. А. Фомкин, А. А. Прибылов,
А. В. Школьин, И. Е. Меньшиков,
К. О. Мурдма, А. Л. Пулин

Изв. АН. Сер. хим., 2019, № 10, 1838



Изотермы адсорбции этана на микропористом углеродном адсорбенте МПУ-007 при температурах 303 (1), 313 (2), 323 (3) и 333 К (4).

Экстракция трехзарядных катионов металлов в водной расслаивающейся системе антипирин—сульфосалициловая кислота—вода

В. Н. Стрельников, А. А. Юминова,
М. И. Дегтев, П. В. Мельников

Изв. АН. Сер. хим., 2019, № 10, 1843

Перспективы использования диэтилбензола в качестве диспергатора топлив для ракетно-прямоточных двигателей

Л. С. Яновский, Д. Б. Лемперт,
В. В. Разносчиков, И. С. Аверьков,
И. Н. Зюзин, А. Ф. Жолудев,
М. Б. Кислов

Изв. АН. Сер. хим., 2019, № 10, 1848

Экспериментальное определение стандартной энталпии образования 4Н,8Н-бис-(фуразано)[3,4-*b*:3',4'-*e*]пиразина и оценка его эффективности как диспергатора твердых топлив

Д. Б. Лемперт, А. И. Казаков,
А. Б. Шереметев, А. Г. Гладышкин,
А. В. Набатова, Л. С. Яновский

Изв. АН. Сер. хим., 2019, № 10, 1856

Полярность *para*-дизамещенных бензола: корреляционный анализ влияния заместителей

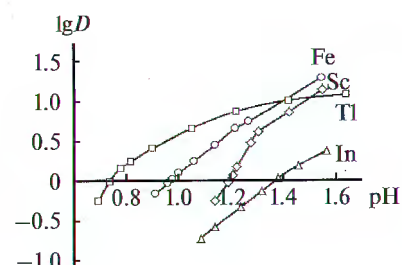
О. В. Кузнецова, А. Н. Егорочкин,
Н. М. Хамалетдинова

Изв. АН. Сер. хим., 2019, № 10, 1860

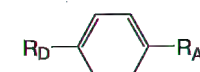
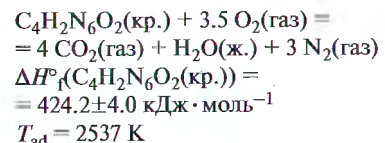
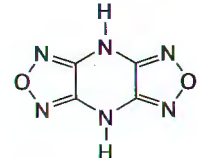
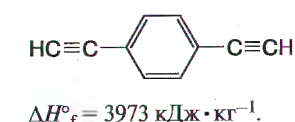
Силикагель, модифицированный галогенидами тетраалкиламмония, — доступный и эффективный катализатор получения органических циклических карбонатов из эпоксидов и CO₂

С. Е. Любимов, М. В. Соколовская,
Б. Чоудхури, А. В. Арзуманян,
Р. Ш. Тухватшин, Л. Ф. Ибрагимова,
А. А. Тютюнов, В. А. Даванков,
А. М. Музафаров

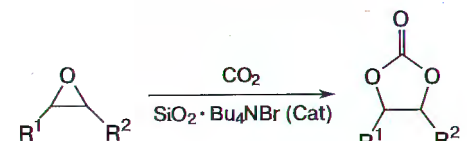
Изв. АН. Сер. хим., 2019, № 10, 1866



Зависимость логарифма коэффициента распределения ионов Fe³⁺, Sc³⁺, Tl³⁺ и In³⁺ от pH в системе антипирин—сульфосалициловая кислота—вода.



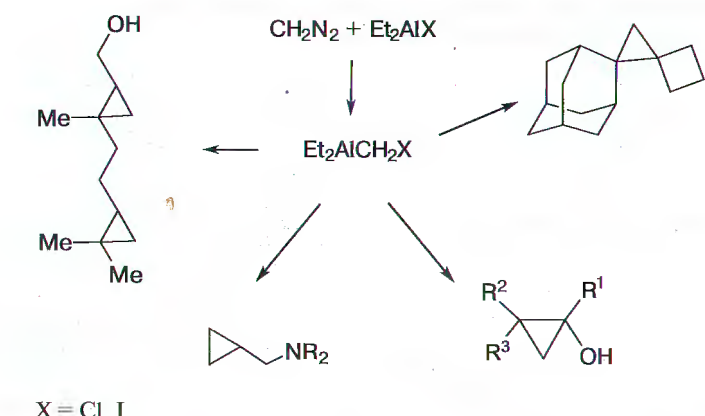
R_D — донорный заместитель; R_A — акцепторный центр
 $\mu = \mu_0 + a\sigma_I + b\sigma_R(\sigma_R^+) + c\sigma_a$
Ind (%) = aσ_I, Res (%) = bσ_R(σ_R⁺), Pol (%) = cσ_a
μ — дипольные моменты молекул; σ_I, σ_R, σ_R⁺, σ_R⁻, σ_a — константы заместителей R_D; при усилении свойств R_A [σ_R⁻(R_A)[↑]] сопряжение R_D с кольцом ослабевает [Res[↓]]



Cat — катализатор
Девять примеров, конверсия ~100%.

Реагент Et₂AlX/CH₂N₂ в циклопропанировании пространственно затрудненных олефинов, а также кислород- и азотсодержащих непредельных соединений

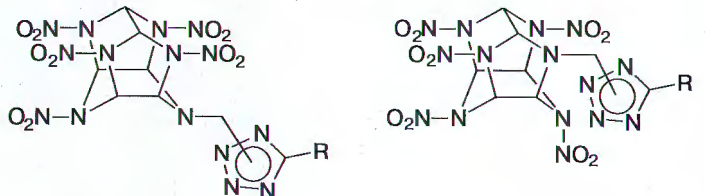
И. Р. Рамазанов, А. В. Ярославова,
И. Р. Яубасаров, Э. Н. Гильманова,
У. М. Джемилев



Изв. АН. Сер. хим., 2019, № 10, 1869

Синтез 4- и 6-(тетразолилметил)пентанитротетразелиазовюрцитанов

Т. В. Терникова, Г. В. Похвиснева,
О. А. Лукьянов

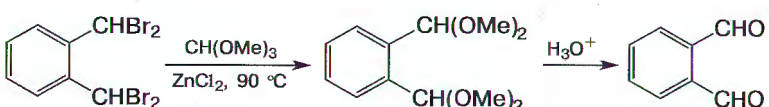


R = H, Me, NH₂

Изв. АН. Сер. хим., 2019, № 10, 1874

Новые методы синтеза фталевого альдегида и его диацеталей

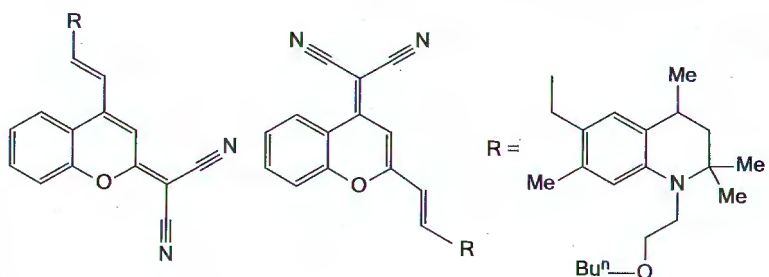
М. Б. Газизов, Р. А. Хайруллин,
С. Ю. Иванова, Ю. С. Кириллина,
Н. О. Романенко, Н. Н. Газизова



Изв. АН. Сер. хим., 2019, № 10, 1878

Новые хромофоры на основе 2-(4-винилхромен-2-илиден)малононитрила и 2-(2-винилхромен-4-илиден)малононитрила

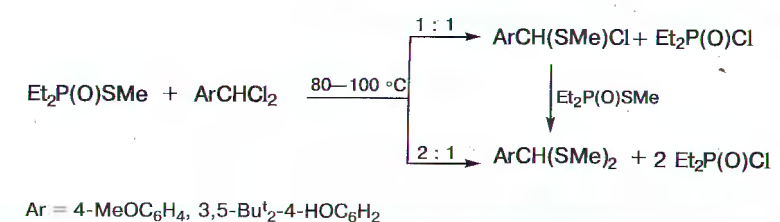
К. С. Левченко, К. А. Чудов,
Д. Ю. Демин, Г. Е. Адамов,
Е. В. Зиновьев, К. А. Лысенко,
А. В. Шокуров, П. С. Шмелев,
Ю. П. Гребенников



Изв. АН. Сер. хим., 2019, № 10, 1883

β-Метилдиэтилтиофосфинат вmono- иди-(дехлорметилтиоилировании)замещенных бензидиленхлоридов

М. Б. Газизов, Г. Д. Валиева,
С. Ю. Иванова, Р. А. Хайруллин,
Ю. С. Кириллина, О. Д. Хайруллина,
Ш. Н. Ибрагимов



Изв. АН. Сер. хим., 2019, № 10, 1889

Газохроматографические свойства метакрилатных полимеров, модифицированных наночастицами серебра

Н. П. Платонова, А. А. Ревина,
Т. А. Кулькова, А. К. Буряк

Изв. АН. Сер. хим., 2019, № 10, 1893

Синтез и биологическая активность новых полимерных серебросодержащих нанокомпозитов

Г. Ф. Прозорова, С. А. Коржова,
Н. П. Кузнецова, А. И. Емельянов,
Л. А. Беловежец, А. С. Поздняков

Изв. АН. Сер. хим., 2019, № 10, 1897

Взаимодействие перфторполиэфирполиперекиси ПФПП-4 с полифторароматическими соединениями

А. А. Глазков, А. А. Ярош,
А. М. Сахаров

Изв. АН. Сер. хим., 2019, № 10, 1903

Новые 4-диметиламино-2-(нафтилин-1-ил)-1-фенил-1-(2-хлорхинолин-3-ил)бутан-2-олы, обладающие противотуберкулезной активностью

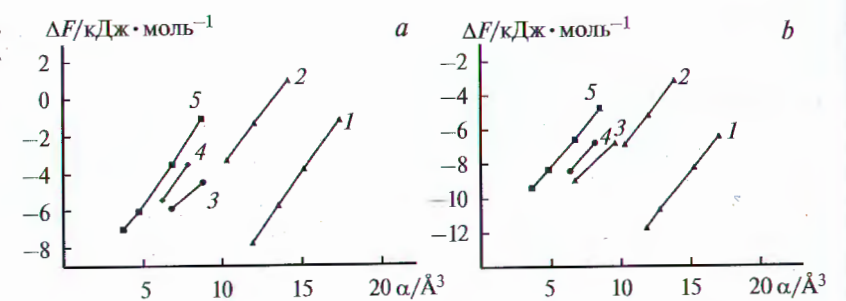
А. В. Омельков, В. Е. Федоров,
А. А. Степанов

Изв. АН. Сер. хим., 2019, № 10, 1908

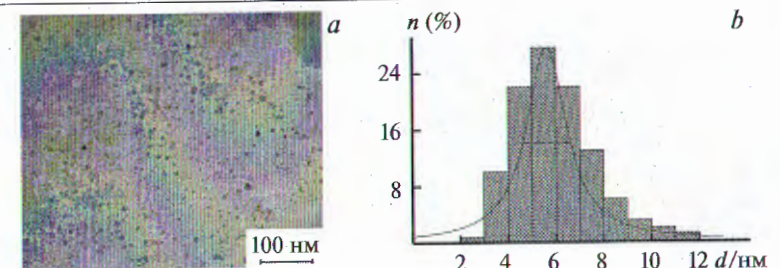
Ингибиторное действие полифенолов с различным расположением OH-групп в присутствии лецитина

Л. И. Мазалецкая, Н. И. Шелудченко,
М. В. Козлов, Л. Н. Шишкина

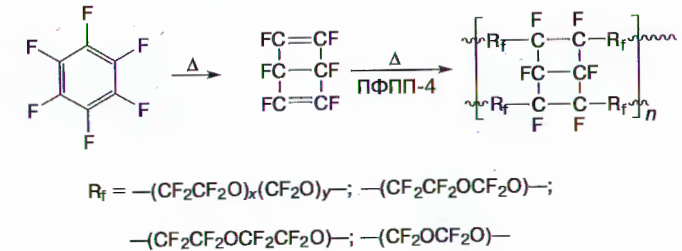
Изв. АН. Сер. хим., 2019, № 10, 1919



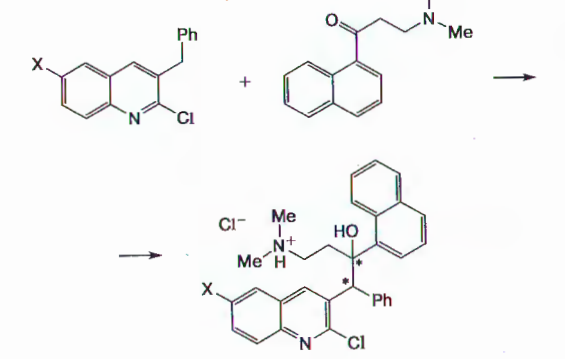
Зависимость свободной энергии сорбции *n*-алканов (1), ароматических углеводородов (2), кетонов (3), ацетатов (4), спиртов (5) исходным сополимером (а) и модифицированным наночастицами Ag (б) от поляризуемости молекул (α).



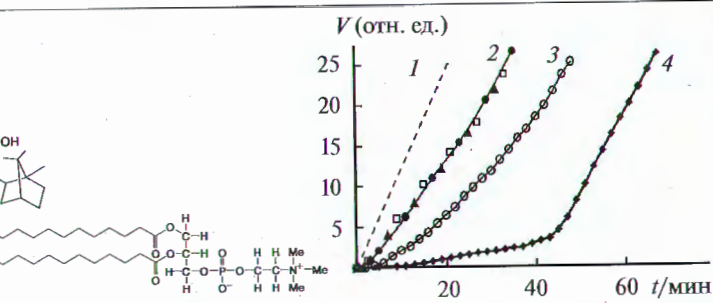
Электронная микрофотография (а) и диаграмма распределения (б) наночастиц серебра по размерам в нанокомпозите на основе сополимера 1-винил-1,2,4-триазола с винилацетатом.



Изв. АН. Сер. хим., 2019, № 10, 1903



X = Br, OMe, F



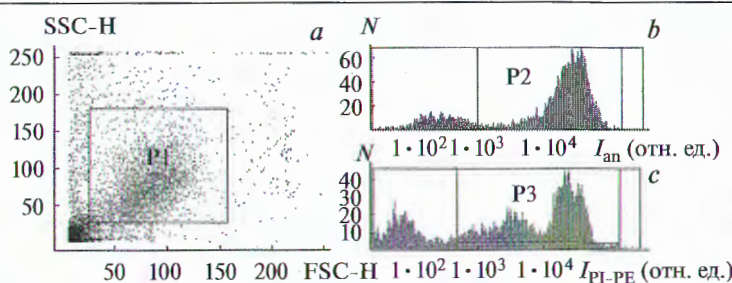
Кинетические кривые поглощения кислорода без добавок (1) и в присутствии полифенолов (2–4).

Способы получения твердых дисперсий лекарственных веществ и их свойства

С. С. Халиков, Б. В. Локшин,
М. М. Ильин (мл.), А. И. Варламова,
М. Б. Мусаев, И. А. Архипов

Изв. АН. Сер. хим., 2019, № 10, 1924

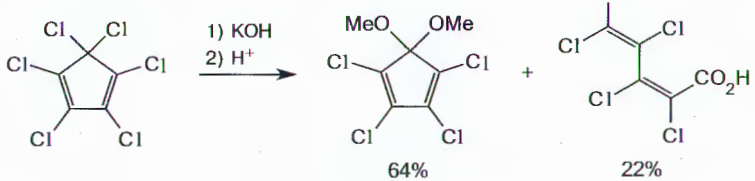
Комплексы меди: цитотоксичность и возможности транспорта



Метод проточной цитометрии: ранний и поздний апоптоз клеточной линии *Jurkat* под действием комплекса $(AP)_2CuCl_4$ (AP – 2-аминопirimидин); (а) гейт клеток при соотнесении прямого (FSC-H) и бокового (SSC-H) светорассеяния под действием комплекса $(AP)_2CuCl_4$, P1 – гейт выбранных клеток; (б) P2 – клетки на ранней стадии апоптоза, I_{an} – интенсивность флуоресценции при добавлении аннексина FITC, N – число клеток; (с) P3 – клетки на поздней стадии апоптоза, I_{PI-PE} – интенсивность флуоресценции при добавлении PI-PE.

Краткие сообщения

(2Z)-2,3,4,5,5-Пентахлорпента-2,4-диеновая кислота как минорный продукт в синтезе 3,5-диметокситетрахлорцикlopентадиена из тексахлорцикlopентадиена

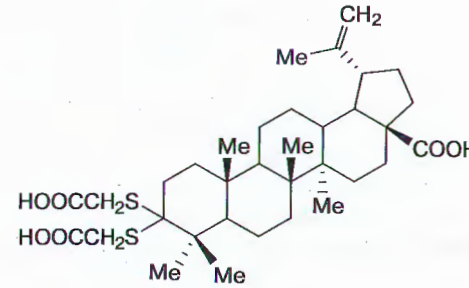


Изв. АН. Сер. хим., 2019, № 10, 1940

Получение (*S,S'*-бискарбоксиметил)дитиокетиля бетулововой кислоты

К. К. Бабиевский, Ю. А. Давидович,
Л. В. Снегур, К. А. Кочетков

Изв. АН. Сер. хим., 2019, № 10, 1944



Письма редактору

Влияние внешнего магнитного поля на динамику восстановления магнетита водородом

П. А. Чернавский, М. И. Иванцов,
В. В. Лунин

Изв. АН. Сер. хим., 2019, № 10, 1946

